

# 高速中性子源炉（弥生）を用いた フィッショントラックの生成

本多照幸\*、雁沢好博\*\*、野崎徹也\*

岡本孝司\*\*\*、班目春樹\*\*\*

(\*武藏工大・原研、\*\*北海道教育大、

\*\*\*東大・工・原施)

## I. はじめに

フィッショントラック（FT）年代測定法は、地球の歴史や岩石、鉱物の地質年代を知る手段として、1960年代の初頭に開発され、70～80年代に広く使われるに至った。

現在、鉱物（ジルコン、アバタイト等）中に含まれるウランの検出は、自発核分裂（トラック）片の検出と同様、原子炉で照射して生成するトラック片を化学エッチングした後、光学顕微鏡下で観察して行うため、個々のトラック片が熱及び熱外中性子によって生成したものか、（高）速中性子により生成したものか区別がつかない。そこで、本研究では、FT年代測定に高速中性子の影響がどの程度あるのか見積り、より正確な年代値を算出することを目的とする。

今回は、その第一歩として、高速中性子源として用いた東大・弥生炉（グローリー孔）の高速中性子束及びフルエンスの絶対測定と、それにより生成するフィッショントラックの凡そ関係を求めたので報告する。

## II. 実験

### 1. 試料

本研究において、中性子照射に供した試料は、ウラン入り標準ガラスSRM 961、年代標準試料 Fish Canyon tuff のジルコン（FT-Zr）及び中性子フラックス・モニター用の箔検出器・インジウム箔（In）である。このうち、前二者には、FTの転写・検出のためにマイカ箔が貼付してある。

ガラス及びジルコン試料とその特性を表1に、中性子モニター（In）の形状及び重量を表2に、Inの核データを表3<sup>1)</sup>に示す。

表1 照射試料（ガラス及びジルコン）とその特性

試料	U濃度 (ppm)	Th濃度 (ppm)	同位体存在比 238U, Atom%	形状	備考
SRM 961 (マイカつき)	461.5	457.2	99.7624	1/4 円状	
FCR-Zr (マイカつき)	413±7	302±5	99.2747	正方形	埋め込みに エポキシ樹脂使用

表2 中性子モニターの照射\*及び測定条件\*\*

試料	形状	重量 (mg)	照射積算出力 (KWH)	冷却時間 (日)	検出核種	半減期	γ線エネルギー, KeV (絶対放出率)
In	0.01mm <sup>t</sup> , 3mm φ (2枚)	1.23	5.53 (断続)	0.9	<sup>115m</sup> In	4.5h	336 (0.458)

\* 標準ガラス (SRM 961) 並びにジルコン試料 (FCR-Zr) はいずれも  
28.65 KWH の積算出力 (断続) で照射した。

\*\* γ線の測定時間は 1000 sec である。

表3 本研究で使用した箔検出器とその核データ

元素	標的核種	天然存在比	反応	生成核種	放射化 断面積 (barn)	実効 断面積 (barn)	しきい エネルギー (MeV)
In	<sup>115</sup> In	0.9577	(n, n')	<sup>115m</sup> In	0.177	0.310	1.3

## 2. 中性子源

本研究の中性子源として、高速中性子源炉・弥生（東大）を用いた。

弥生炉の最大熱出力は2 kWであり、本研究で使用した照射場（グローリー孔）の中性子束（公表値）は、 $7.5 \pm 0.5 \times 10^{11} n \cdot cm^{-2} \cdot sec^{-1}$ （2 kW時）、平均エネルギーは、0.8~1.5 MeV、冷却方式は空冷である<sup>1)</sup>。

弥生炉・グローリー孔中心部の中性子スペクトル<sup>1)</sup>を lethargy unit で図1に示す。

## 3. 中性子照射

中性子照射は、弥生炉・グローリー孔で標準ガラス（SRM 961）並びにジルコン試料（FCT-Zr）については、何れも28.65 kWh、Inについては、5.53 kWhの積算出力（断続）で行った（表2参照）。

## 4. モニター及びFTの計測

中性子モニター（In）のγ線計測は、照射終了後、適当な冷却時間を経て、高純度Ge半導体検出器及びパソコン連動の4096チャンネル波高分析器を用いて行った。

Inのγ線計測についての測定条件を表2に記載する。一方、マイカに転写されたFTの計数は、マイカを48%HFにより室温で22分エッチングした後、総合倍率600Xの透過型光学顕微鏡を用いて行った。

## III. 結果及び考察

本研究において中性子フラックス・モニターに使用したInは、しきい値検出器であり、そのしきいエネルギーは表3に記載したように、1.3 MeVである<sup>1)</sup>。InのCross section curve<sup>2)</sup>を図2に示す。また、本実験における測定により得られたγ線スペクトルを図3に示す。

図3のγ線スペクトルを解析することにより、しきい値1.3 MeV以上の実効中性子束( $\phi_{1.3}$ )を求めることが可能となる。（1）にその一般的な算出式を示す。

$$\phi_{eff} = \frac{\lambda N c e^{\lambda t_w}}{\sigma_{eff} n (1 - e^{-\lambda t_i}) \varepsilon_p \eta (1 - e^{-\lambda t_c}) A c} \quad (1)$$

ここで、 $\phi_{eff}$ ： 実効中性子束 ( $n \cdot cm^{-2} \cdot sec^{-1}$ )

$\sigma_{eff}$ ： 実効断面図 ( $cm^2$ )

-33-

n : 標的核数

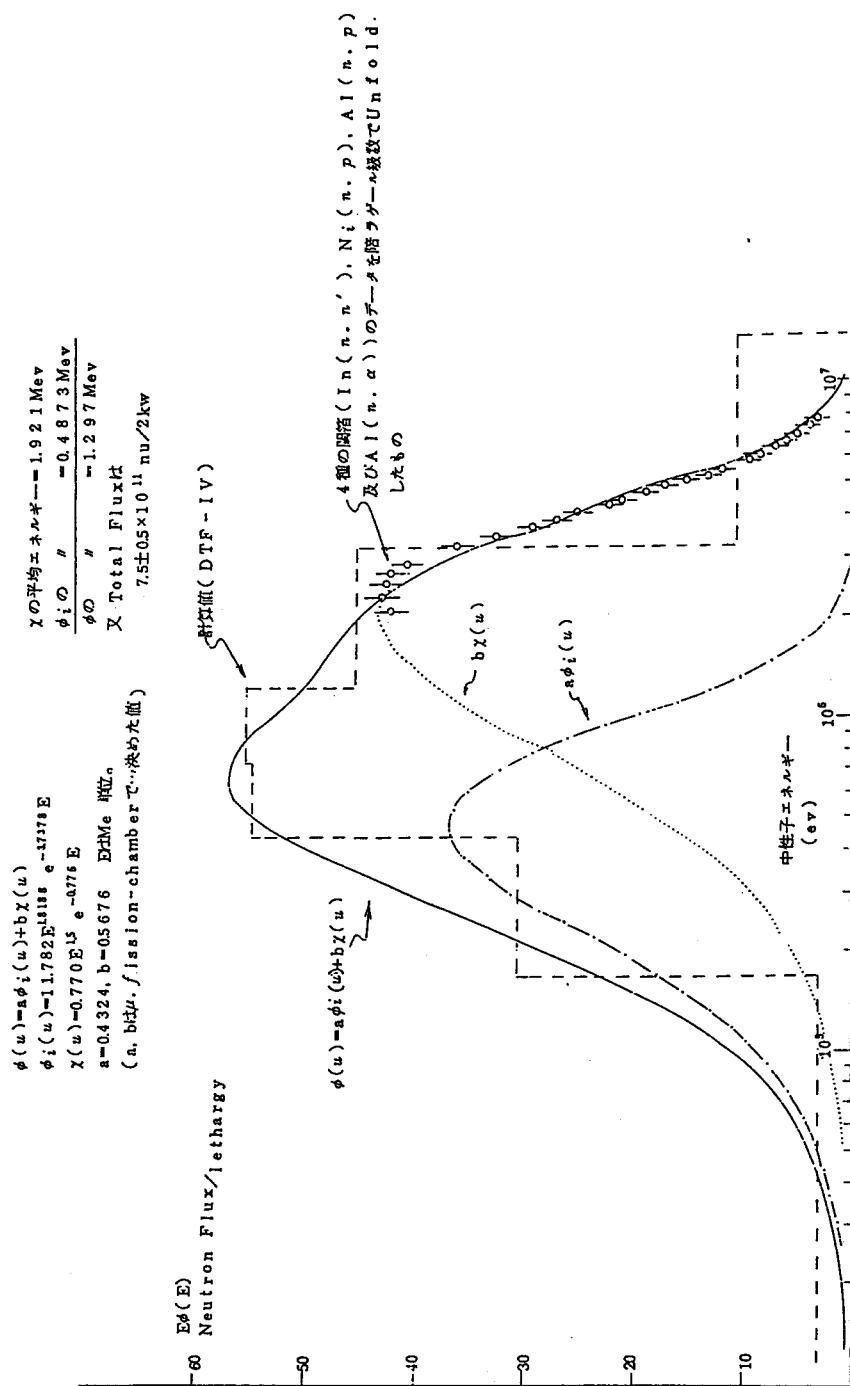


図1 溶生核グローリー孔中心部の中性子スペクトル

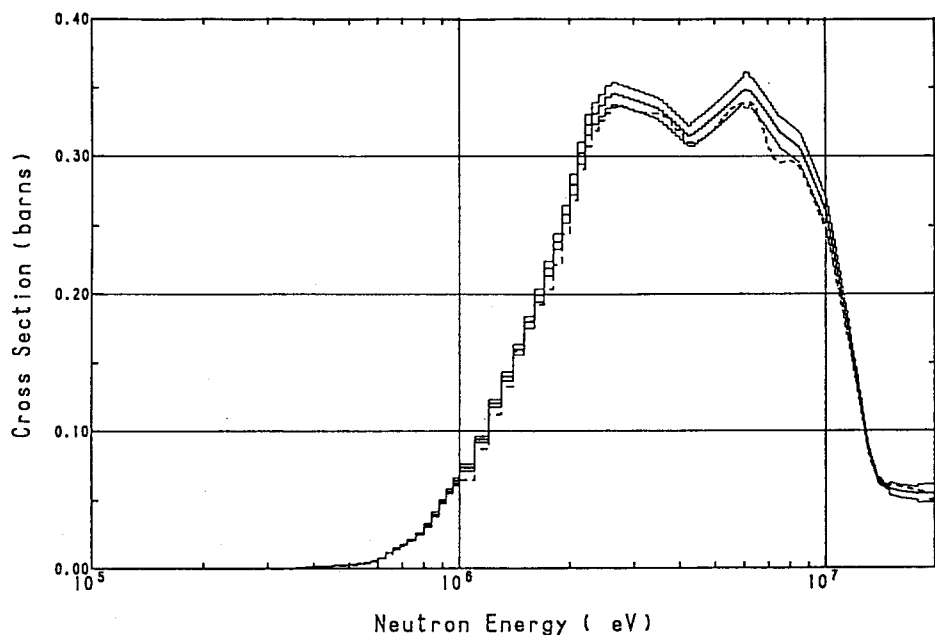


図2  $^{115}\text{In}(n, n')^{115\text{m}}\text{In}$  cross section

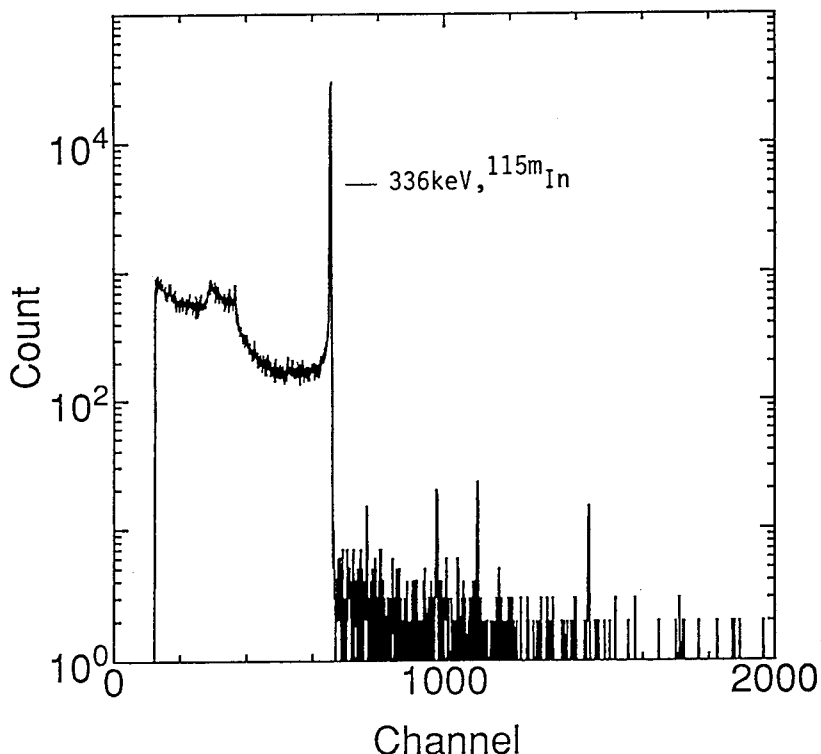


図3 In モニターのガンマ線スペクトル

- $\lambda$  : 壊変定数 ( $\text{sec}^{-1}$ )  
 $t_i$  : 照射時間 (sec)  
 $\varepsilon_p$  : 光電ピーク効率  
 $\eta$  : 検出放射線の放出率  
 $A_c$  : 自己吸収係数  
 $N_c$  : 真の係数値  
 $t_w$  : 冷却時間 (sec)

また、自己吸収係数は(2)式で求められる。

$$A_c = \frac{1 - e^{-\mu T}}{\mu T} \quad \dots \quad (2)$$

ここで、 $\mu$  : 線吸収係数 ( $\text{cm}^{-1}$ )

$T$  : モニターの厚さ (cm)

(1)、(2)式より $\phi_{1.3}$ が求められ、

$$\phi_{1.3} = 5.4 n \cdot \text{cm}^{-2} \cdot \text{sec}^{-1}$$

となった。

しかしながら、 $^{238}\text{U}$ 、 $^{232}\text{Th}$ の(n, f)反応は、各々図4<sup>2)</sup>、図5<sup>2)</sup>に示すように何れも1.5MeVのしきい値を持っているため、1.5MeV以上の実効中性子束 $\phi_{1.5}$ に変換しなければならない。この変換は、東大で公表している中性子スペクトルを表す式<sup>1)</sup>、

$$\phi(u) = a \phi_i(u) + b x(u) \quad \dots \quad (3)$$

(ただし、uは lethargy unit)

より求めることができる。(3)式の詳細な説明は、ここでは省くが、第1項は非弾性散乱の、第2項は核分裂のスペクトルを各々表している(図1参照)。

以上のようにして得られた $\phi_{1.5}$ 及びフルエンス $\Phi_{1.5}$ は、

$$\phi_{1.5} = 4.7 \times 10^{11} n \cdot \text{cm}^{-2} \cdot \text{sec}^{-1} \quad (2 \text{ kW時})$$

$$\Phi_{1.5} = 2.4 \times 10^{16} n \cdot \text{cm}^{-2}$$

となった。

一方、標準ガラス並びにジルコン試料より転写されたマイカ中のFTの密度( $\rho_d$ )は、U濃度が両試料とも400ppm程度であるため、以下のようにほぼ同じ値となった。

$$\rho_d = 1 \sim 1.5 \times 10^7 t \cdot \text{cm}^{-2}$$

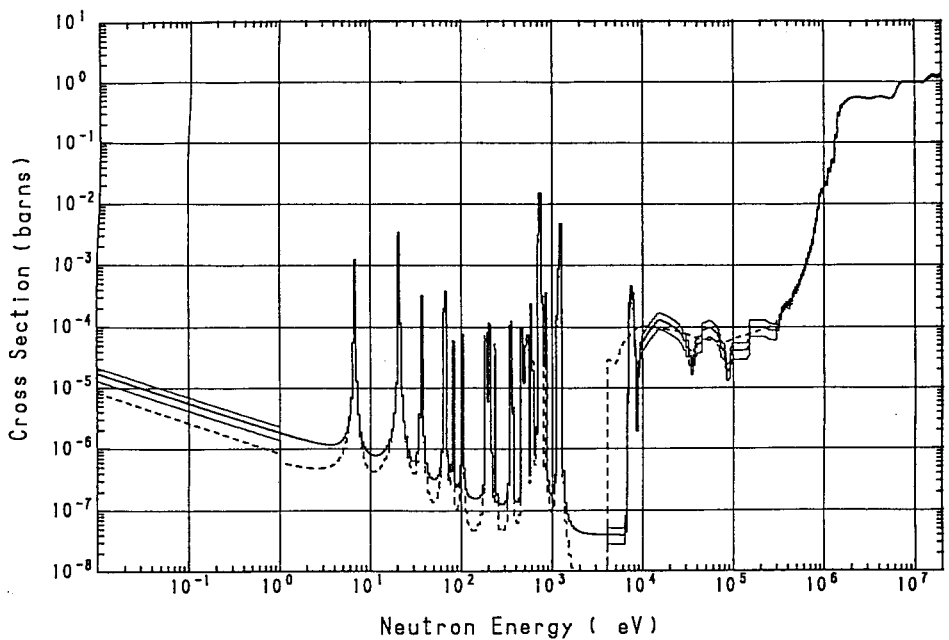


図4  $^{238}\text{U}$  fission cross section

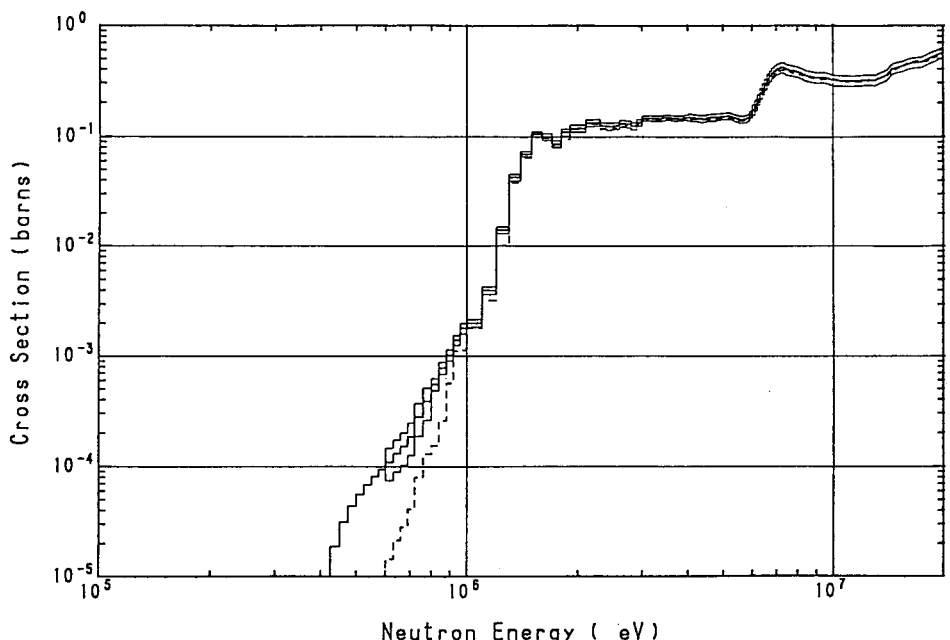


図5  $^{232}\text{Th}$  fission cross section

ただし、この $\rho d$ 値は、照射フルエンスが大き過ぎたため高い値となり、正確な値とは言い難い。従って、本稿では参考値として扱い、詳細な検討は今後の実験結果に譲ることとする。

高速中性子により核分裂を引き起こす主な核種は、 $^{238}\text{U}$ 、 $^{232}\text{Th}$ 及び $^{235}\text{U}$ の3つである。これらの核種が本実験において、各々どの程度の生成割合を有するかは、実効断面積または平均断面積を用いて求めることができる。これらの断面積<sup>1)</sup>は既に東大によって求められており、 $^{238}\text{U}$ の $\sigma_{\text{eff}} = 0.587 \text{ barn}$ 、 $^{232}\text{Th}$ の $\sigma_{\text{eff}} = 0.131 \text{ barn}$ 、 $^{235}\text{U}$ の平均断面積 $\bar{\sigma} = 1.27 \text{ barn}$ となっている。これらの値を用いて反応率( $\phi n$ )の比を算出すれば、それが即ちFTの生成割合である。

このようにして得られた生成割合は、全体を1とした場合、

$$^{238}\text{U} : ^{232}\text{Th} : ^{235}\text{U} = 0.805 : 0.183 : 0.012$$

となった。従って、前述の $\rho d$ 値の中で $^{238}\text{U}$ 起源は80.5%、 $^{232}\text{Th}$ 起源は18.3% $^{235}\text{U}$ の起源は1.2%各々含まれていることになる。

FT年代測定では、通常熱中性子を用いた $^{235}\text{U}(n, f)$ 反応により試料中のU濃度を求める方法が採用されている。標準ガラスSRM 962a及び613を用いた $B_{th}$ 値(カドミ・カバー実験により、熱中性子のみに補正したもの)として以下の値が本多、雁沢ら<sup>3)-5)</sup>によって求められている。

$$B_{th} = \frac{\Phi_{th}}{\rho d \cdot th} = 7.45 \pm 0.29 \times 10^9$$

この値と $\Phi_{1.5}$ 及びガラス中のU濃度、同位体比、実効断面積の比から $^{238}\text{U}$ の $\rho d$ を算出すると、 $\rho d = 1.57 \times 10^7 \text{ t} \cdot \text{cm}^{-2}$ となる。同様に $^{232}\text{Th}$ は $3.6 \times 10^6 \text{ t} \cdot \text{cm}^{-2}$ 、 $^{235}\text{U}$ は $2.3 \times 10^5 \text{ t} \cdot \text{cm}^{-2}$ となり、 $\rho d$ の総和は $1.95 \times 10^7 \text{ t} \cdot \text{cm}^{-2}$ と算出される。この値は、前述の実測値 $\rho d = 1 \sim 1.5 \times 10^7 \text{ t} \cdot \text{cm}^{-2}$ とほぼ近似である。先述した通り、 $\rho d$ の実測値は正確な値とは言い難く、しかも中性子モニターの生成放射能も多かったことを考慮に入れるならば、両者は良く一致していると見ることができる。

本稿では、今のところこれ以上の議論はできないので、今後、照射条件を最適にして、高速中性子照射による $\Phi - \rho d$ の関係を $^{238}\text{U}$ 、 $^{232}\text{Th}$ について詳細かつ正確に求める予定である。

#### IV. まとめ

今回、はじめて高速中性子源（弥生）を用いて、得られたフルエンスとFTの生成との凡そその関係を求めた。その結果、以下のことが明らかとなった。

- (1)  $I_n$  を用いた絶対測定により、高速中性子束を求めることができた。
- (2)  $\Phi - \rho d$  の相関は、熱中性子で得られている値とほぼ近似であった。
- (3) 今後、照射条件を最適にすることにより、高速領域での照射フルエンスとFT生成の関係がより詳細かつ正確に求まるものと思われる。

#### V. 参考文献

- (1) 中沢正治, 関口 晃, “「弥生」線量測定データ集〔1〕”, 東京大学工学部付属原子力工学研究施設, 1976.
- (2) JAERI 1325, “JENDL Dosimetry File”, 日本原子力研究所, 1992.
- (3) 本多照幸, 雁沢好博, 野崎徹也, 地球科学, 41卷5号(1987)  
281-289.
- (4) 雁沢好博, 本多照幸, 野崎徹也, 地球科学, 42卷3号(1988)  
137-146.
- (5) Y. GANZAWA, T. HONDA, T. NOZAKI,  
Nucl. Tracks Radiat. Meas., vol. 17  
No. 3 (1990) 273-276.